

Физика 18. Катющик и спектральная гравитация

Robert Paulig

Ноябрь 2025

1 Введение. Место данной работы относительно монографии В. А. Катющика

1.1 Цель и исходная позиция

Настоящая работа целиком опирается на монографию В. А. Катющика, в которой гравитация рассматривается как следствие давления базового поля Вселенной и экранирования этого давления материальными телами. Мы не предлагаем «альтернативную» теорию гравитации в смысле отрицания результатов Катющика, а, напротив, принимаем его модель базового поля как исходную и стремимся:

- уточнить её спектральную структуру;
- связать макроскопическое описание с микрофизикой;
- сформулировать условия, при которых гравитационное поле становится инженерно управляемым.

Если использовать образ, то монография Катющика показывает гравитацию в виде монохромного луча: есть одно базовое воздействие поля и один коэффициент восприимчивости вещества. Настоящая работа отвечает на вопрос:

что изменится, если рассматривать то же самое поле не как монохромный луч, а как спектр частот, и учесть, что вещество по-разному взаимодействует с различными частотными компонентами?

Иными словами, мы сохраняем геометрию и базовые принципы Катющика, но повышаем «спектральное разрешение» его поля.

2 Исходные постулаты базового поля

В этом разделе мы сформулируем исходные предположения о базовом поле Вселенной в той форме, в которой они будут использоваться далее. Они во многом следуют монографии В. А. Катющика, но изложены в слегка обобщённой нотации, пригодной для последующего спектрального расширения.

2.1 Постулат 1. Заполненность пространства средой

Пространство Вселенной рассматривается не как пустота, а как равномерно заполненное физической средой — базовым полем. Этой среде соответствует конечная плотность энергии ε_{bg} и связанное с ней изотропное давление p_{bg} .

- В отсутствии материальных включений (частиц, тел) поле однородно и изотропно.
- Во всякой малой области пространства среда описывается одними и теми же параметрами $\varepsilon_{\text{bg}}, p_{\text{bg}}$.

2.2 Постулат 2. Изотропное давление и отсутствие самодвижения

Если в некоторой области нет тел, нарушающих однородность поля, результирующая сила от базового давления на любую воображаемую поверхность в этой области равна нулю.

- Изотропность давления означает, что вклад поля с разных направлений строго компенсируется.
- В пустой (без материи) однородной среде нет выделенных направлений и нет источников самодвижения.

Иначе говоря, само по себе базовое поле не создаёт макроскопических сил, пока не появятся объекты, нарушающие его однородность.

2.3 Постулат 3. Взаимодействие материи с полем как экранирование

Материальные объекты взаимодействуют с базовым полем по принципу *частичного экранирования* потока его воздействия.

- Каждому элементу массы dt соответствует некоторое уменьшение интенсивности базового воздействия в направлениях, проходящих через этот элемент.
- Эффективность такого взаимодействия характеризуется коэффициентом восприимчивости k_v , так что для макроскопического тела массы m вводится величина

$$n_f = k_v m,$$

определяющая “силовую значимость” тела по отношению к полю.

В пределе, когда $k_v \approx 1$, масса тела численно совпадает с величиной его экранирующей способности, как это фактически принимается в модели Катюшика.

2.4 Постулат 4. Гравитация как результирующая давления поля

Гравитационное взаимодействие между телами возникает вследствие несимметричного распределения давления базового поля вокруг них.

- Одно тело частично экранирует поток поля, приходящий со стороны, где находится другое тело.
- Второе тело, попадая в область пониженного давления (теневую зону), испытывает результирующую силу, направленную к области меньшего давления.
- Сила гравитации пропорциональна величине экранирования (величине n_f) и локальному базовому воздействию W :

$$F \propto n_f W,$$

а с учётом геометрии конфигурации тел вводится множитель $f(\alpha)$, зависящий от относительного расположения и размеров.

Таким образом, гравитация трактуется как макроскопический эффект тени в потоке базового поля, а не как непосредственное “притяжение” масс.

2.5 Постулат 5. Макроскопический предел и ньютоновская форма

В рамках больших расстояний и умеренных полей предполагается, что:

- базовое поле достаточно однородно в масштабе характерных размеров тел;
- экранирование мало и линейно по массе;
- геометрический множитель $f(\alpha)$ выбирается так, чтобы сила между точечными массами на расстоянии r принимала ньютоновскую форму

$$F = G \frac{m_1 m_2}{r^2}.$$

Именно в этом приближении классическая гравитация Ньютона (и дальше ОТО) интерпретируется как эффективное описание макроскопического эффекта экранирования базового поля.

Сформулированные выше постулаты задают ту версию модели базового поля Катюшика, которую мы будем использовать далее. В следующем разделе к этой системе добавляется ключевое расширение: переход от скалярного параметра W к спектральному описанию поля $U_{bg}(\omega)$ и введение частотно-зависимой прозрачности материи $\alpha(\omega)$.

3 Монокромная гравитация Катюшика

В предыдущем разделе были сформулированы исходные постулаты модели базового поля. Теперь запишем ту её форму, в которой гравитация описывается одним скалярным параметром базового воздействия W и одним коэффициентом восприимчивости вещества k_v . Эта упрощённая, “монокромная” картина в точности соответствует подходу В. А. Катюшика и служит отправной точкой для последующего спектрального обобщения.

3.1 Общая структура силы в монокромной модели

Согласно постулатам, сила взаимодействия базового поля с телом определяется тем, насколько сильно тело экранирует поток поля. Для однородного поля с интенсивностью W и тела с эффективной экранирующей величиной n_f вводится общая структура

$$F = f(\alpha) n_f W, \quad (1)$$

где

- W — скалярная величина, характеризующая базовое воздействие поля (давление или поток энергии);
- n_f — параметр, характеризующий “силовую значимость” тела по отношению к полю;
- $f(\alpha)$ — безразмерный геометрический множитель, зависящий от взаимного расположения тел, их размеров и формы.

В монографии Катюшика величина n_f связывается с массой тела m через коэффициент восприимчивости k_v :

$$n_f = k_v m. \quad (2)$$

Подстановка (2) в (1) даёт

$$F = f(\alpha) k_v m W. \quad (3)$$

Для гравитационного взаимодействия между двумя телами m_1 и m_2 предполагается, что оба они экранируют одно и то же однородное поле, а геометрический множитель $f(\alpha)$ выбирается таким образом, чтобы сила имела ньютоновский закон убывания $\propto 1/r^2$.

3.2 Переход к ньютоновской форме

Рассмотрим две эффективные точечные массы m_1 и m_2 , разделённые расстоянием r . В монокромной модели результат можно представить как

$$F = C k_v^2 W \frac{m_1 m_2}{r^2}, \quad (4)$$

где C — безразмерный численный коэффициент, зависящий от принятого нормирования поля и выбора геометрического множителя $f(\alpha)$. Форма (4) напоминает ньютоновский закон притяжения

$$F = G \frac{m_1 m_2}{r^2}. \quad (5)$$

Отождествляя (4) и (5), получаем выражение для гравитационной постоянной в рамках монохромной модели:

$$G = C k_v^2 W. \quad (6)$$

Таким образом, в монохромной интерпретации Катюшика ньютоновская гравитационная постоянная G не является фундаментальной константой, а определяется тремя параметрами:

- интенсивностью базового поля W ;
- коэффициентом восприимчивости вещества k_v ;
- геометрическим числом C , зависящим от принятых допущений.

Чаще всего Катюшник полагает $k_v \approx 1$, фактически отождествляя массу тела с его экранирующей способностью. В этом случае зависимость (6) сводится к

$$G \propto W,$$

то есть гравитационная постоянная напрямую выражается через базовое воздействие поля.

3.3 Интерпретация параметров W и k_v

В дальнейшем нам потребуется чёткое разделение ролей параметров:

- W будем трактовать как *интегральную характеристику* фонового поля, связанную с его энергоплотностью и давлением;
- k_v — как *усреднённый коэффициент* взаимодействия конкретного вида вещества с этим полем.

В монохромной картине оба параметра являются числами, не зависящими ни от частоты, ни от состояния среды. В этом и состоит её сила (простота) и ограничение (отсутствие спектральной структуры).

3.4 Область применимости монохромной модели

Монохромное приближение оказывается чрезвычайно эффективным для описания:

- небесной механики (движение планет, спутников, малых тел в гравитационном поле крупных масс);
- статистической гравитации на больших масштабах (структура галактик, скоплений, крупномасштабная динамика);
- любых ситуаций, где вещество можно рассматривать как однородную среду с усреднёнными свойствами, а детали спектрального состава поля и материи несущественны.

Однако при переходе к задачам:

- микрофизики (ролевые частоты, резонансы, квантовые состояния);

- структурированных и когерентных сред (сверхпроводники, плазма, резонаторы);
- поискам нелинейных эффектов и управляемого изменения G_{loc} ,

монохромное описание становится недостаточным. В этих режимах требуются явные частотные зависимости как для поля, так и для отклика материи.

Именно эта граница применимости монохромной модели и мотивирует введение спектрального описания базового поля, которому посвящён следующий раздел.

4 Введение спектрального поля

Как было отмечено выше, монохромная модель Катюшика оперирует двумя скалярными параметрами: базовым воздействием поля W и коэффициентом восприимчивости вещества k_v . Для описания макроскопической гравитации этого достаточно, однако при переходе к микрофизическому уровню и к задачам управляемого изменения гравитационного отклика требуется явным образом учитывать *частотную структуру* поля и материи.

В этом разделе вводится спектральное описание базового поля и отклика вещества, которое в дальнейшем позволит обобщить монохромную формулу (3) до интегральной формы и определить эффективный параметр взаимодействия K .

4.1 Аналогия с оптикой: от белого света к спектру

Для наглядности полезно провести аналогию с оптикой. “Белый” свет может быть охарактеризован общей интенсивностью, но в более подробном описании он представляется как набор частотных компонент с различной амплитудой. Поглощение и отражение света веществом также зависят от частоты: спектр поглощения прозрачного кристалла принципиально отличается от спектра металла.

Аналогично, в монохромной модели базовое поле описывается одним числом W , а вещество — одним числом k_v . Спектральное обобщение состоит в следующем:

- базовое поле описывается распределением спектральной плотности $U_{\text{bg}}(\omega)$;
- геометрия и конфигурация задачи задаются весовой функцией $W(\omega)$;
- вещество характеризуется частотно-зависимой прозрачностью $\alpha(\omega)$.

Монохромная величина W в таком подходе становится интегральной характеристикой спектра, а коэффициент k_v — эффективным усреднением отклика $\alpha(\omega)$.

4.2 Спектральная плотность фонового поля $U_{\text{bg}}(\omega)$

Введём функцию $U_{\text{bg}}(\omega)$, описывающую распределение энергии базового поля по частотам:

$$U_{\text{bg}}(\omega) \, d\omega$$

есть энергия поля в единице объёма, заключённая в интервале частот $[\omega, \omega + d\omega]$.

Предполагается, что:

- в отсутствие материи поле *изотропно* и *стационарно*;
- спектральная плотность $U_{\text{bg}}(\omega)$ зависит лишь от ω и фундаментальных параметров среды (жёсткости, возможной частоты отсечки и т. п.);
- интеграл

$$\Phi_{\text{bg}} = \int_0^\infty U_{\text{bg}}(\omega) d\omega$$

определяет полную энергию поля в единице объёма (или соответствующее давление) и играет роль фоновой “мощности” поля.

4.3 Весовая функция $W(\omega)$

Даже при фиксированном спектре поля конкретная геометрическая конфигурация (расположение тел, границы, резонаторы) может неравномерно “выбирать” частоты. Для этого вводится *весовая функция* $W(\omega)$, которая описывает, какие частотные компоненты поля реально участвуют в формировании силы в данной задаче.

Схематически:

- $W(\omega)$ учитывает геометрию, размерные эффекты и возможные резонансы на макроскопическом уровне;
- интеграл

$$\Omega_{\text{eff}} = \int_0^\infty W(\omega) d\omega$$

задаёт эффективную “ширину полосы” тех частот, которые существенно участвуют в взаимодействии.

В пределе монохромной модели предполагается, что $W(\omega)$ почти постоянно в некоторой широкой полосе частот и быстро спадает вне её, так что всю сложность можно заменить одной эффективной величиной W .

4.4 Спектральный коэффициент прозрачности $\alpha(\omega)$

Частотно-зависимый отклик вещества на базовое поле описывается функцией $\alpha(\omega)$, которую будем называть *спектральным коэффициентом прозрачности* (или, в альтернативной трактовке, спектральным коэффициентом экранирования).

Интуитивно:

- при $\alpha(\omega) \ll 1$ вещество практически прозрачно для соответствующей частоты;
- при больших значениях $\alpha(\omega)$ материя заметно изменяет поток поля (поглощает, рассеивает, переизлучает);
- структура $\alpha(\omega)$ определяется микроскопическими свойствами вещества (уровнями энергии, собственными частотами осцилляторов, когерентностью состояний и т. д.).

В монохромном приближении $\alpha(\omega)$ заменяется одной константой

$$\alpha(\omega) \approx \alpha_0 = \text{const},$$

которая и отождествляется с коэффициентом k_v в формуле (2). Спектральная модель в дальнейшем уточнит связь между α_0 и $\alpha(\omega)$ через интегрирование по частотам.

4.5 Спектральный интеграл K и эффективный параметр взаимодействия

С учётом введённых функций естественно определить *эффективный спектральный параметр взаимодействия* K как интеграл по всем частотам:

$$K = \int_0^\infty W(\omega) U_{\text{bg}}(\omega) \alpha(\omega) d\omega. \quad (7)$$

Здесь:

- $U_{\text{bg}}(\omega)$ задаёт, сколько энергии базового поля приходится на каждую частоту;
- $W(\omega)$ выбирает те частоты, которые существенны для конкретной конфигурации;
- $\alpha(\omega)$ описывает, насколько сильно вещество взаимодействует с этими частотами.

Величина K в дальнейшем будет играть роль обобщённого аналога комбинации $k_v W$, появляющейся в монохромной формуле (3). В простейшем статическом случае гравитационный потенциал Π можно записать в виде

$$\Pi(\mathbf{r}) \propto K \Phi(\mathbf{r}), \quad (8)$$

где $\Phi(\mathbf{r})$ — геометрический потенциал, зависящий от распределения массы и решения уравнений равновесия среды, а силу можно представить как

$$\mathbf{F} = -m \nabla \Pi(\mathbf{r}). \quad (9)$$

Соответственно, гравитационная постоянная G в спектральной модели выражается через K и параметры среды (например, модуль упругости λ) в виде

$$G = \frac{K}{4\pi\lambda}, \quad (10)$$

что является спектральным обобщением монохромного результата (6).

В следующем разделе будет показано, каким образом при специальных допущениях о виде функций $U_{\text{bg}}(\omega)$, $W(\omega)$ и $\alpha(\omega)$ интеграл (7) сворачивается в простую монохромную формулу Катюшика, а сама спектральная модель воспроизводит стандартную ньютоновскую гравитацию как предельный случай.

5 Катюшик как предельный случай спектральной модели

В предыдущем разделе была введена спектральная форма параметра взаимодействия K ,

$$K = \int_0^\infty W(\omega) U_{\text{bg}}(\omega) \alpha(\omega) d\omega, \quad (11)$$

и показано, что гравитационная постоянная в таком описании выражается через

$$G = \frac{K}{4\pi\lambda}. \quad (12)$$

Теперь важно строго показать, что *монохромная* формула Катюшика не противоречит спектральному подходу, а возникает как его предельный случай при определённых упрощающих допущениях. Это позволит рассматривать скалярную модель как первое приближение к более полной спектральной теории.

5.1 Исходные допущения: “серый мир”

Для того чтобы интеграл (11) свёлся к простой скалярной форме, введём три допущения, которые будем вместе называть *моделью “серого мира”*.

1. Равномерность спектра поля. Предполагается, что спектральная плотность фонового поля в рабочем диапазоне частот практически постоянна:

$$U_{\text{bg}}(\omega) \approx U_0 = \text{const.} \quad (13)$$

Это означает, что поле в первом приближении можно рассматривать как “белый шум” с равномерным распределением энергии по частотам в некоторой широкой полосе.

2. Равномерность отклика материи. Предполагается, что вещество экранирует поле примерно одинаково для всех частот, существенных для задачи:

$$\alpha(\omega) \approx \alpha_0 = \text{const.} \quad (14)$$

В терминах монохромной модели этот усреднённый коэффициент α_0 соответствует коэффициенту восприимчивости k_v в (2).

3. Эффективная полоса пропускания. Функция $W(\omega)$ определяет те частоты, которые участвуют в образовании гравитационного эффекта в данной конфигурации. Введём интегральную характеристику

$$\Omega_{\text{eff}} = \int_0^\infty W(\omega) d\omega, \quad (15)$$

которую можно интерпретировать как *эффективную ширину полосы* частот, реально участвующих во взаимодействии.

5.2 Свёртка спектрального интеграла

Подставим допущения (13) и (14) в выражение для K , см. (11). Поскольку U_0 и α_0 не зависят от частоты, их можно вынести за знак интеграла:

$$K \approx U_0 \alpha_0 \int_0^\infty W(\omega) d\omega. \quad (16)$$

Используя определение Ω_{eff} из (15), получаем

$$K \approx \alpha_0 U_0 \Omega_{\text{eff}}. \quad (17)$$

Таким образом, в “сером мире” сложная спектральная структура сводится к произведению трёх чисел: усреднённого коэффициента прозрачности α_0 , уровня поля U_0 и эффективной ширины полосы Ω_{eff} .

5.3 Отождествление с параметрами Катюшика

Сравним полученное выражение (17) с монохромной формой, использовавшейся Катюшиком. Напомним, что в разделе 3 была записана общая структурная формула

$$F = f(\alpha) k_v m W, \quad (18)$$

где W — базовое воздействие поля, а k_v — коэффициент восприимчивости вещества.

Рассмотрим следующие отождествления:

- Поле.** Произведение $U_0 \Omega_{\text{eff}}$ естественно трактовать как *эффективную мощность* поля в рассматриваемой полосе частот:

$$U_0 \Omega_{\text{eff}} \equiv W_{\text{Катюшика}}. \quad (19)$$

Это и есть то самое скалярное W , с которым работает монохромная модель.

- Восприимчивость.** Усреднённый коэффициент α_0 совпадает с коэффициентом восприимчивости:

$$\alpha_0 \equiv k_v. \quad (20)$$

- Эффективный параметр K .** Тогда выражение (17) можно переписать как

$$K \approx k_v W_{\text{Катюшика}}. \quad (21)$$

Подстановка (21) в связь (12) между G и K приводит к формуле

$$G = \frac{k_v W_{\text{Катюшика}}}{4\pi\lambda}, \quad (22)$$

что полностью согласуется с монохромным результатом (6) при соответствующем выборе нормировки.

5.4 Редукция уравнения силы

В спектральной модели сила записывается как

$$\mathbf{F} = -m \nabla \Pi(\mathbf{r}), \quad \Pi \propto K, \quad (23)$$

то есть

$$\mathbf{F} \propto m K. \quad (24)$$

Подставляя сюда (21), получаем

$$\mathbf{F} \propto m (k_v W_{\text{Катюшика}}). \quad (25)$$

Учитывая геометрический множитель $f(\alpha)$, зависящий от конфигурации тел, окончательно приходим к структуре

$$F \sim f(\alpha) k_v m W_{\text{Катюшика}}, \quad (26)$$

то есть к формуле того же вида, что и исходное выражение Катюшика (18).

5.5 Вывод: спектральная модель как обобщение

Полученный результат можно сформулировать следующим образом.

- Спектральная модель *не опровергает* монохромную теорию Катюшика, а содержит её в качестве строго определённого предельного случая — модели “серого мира”, в котором:
 - спектр поля в рабочем диапазоне частот практически плоский;
 - отклик материи слабо зависит от частоты;
 - весовая функция $W(\omega)$ может быть заменена одной эффективной шириной полосы Ω_{eff} .
- Монохромная формула $F \sim k_v m W$ является *первым приближением* спектральной теории, достаточным для описания макроскопической гравитации в условиях, когда детальная частотная структура несущественна.
- Спектральное обобщение становится необходимым, когда:
 - существенны резонансы и частотно-зависимые эффекты;
 - требуется связать гравитацию с микрофизикой (структура частиц, когерентные состояния);
 - рассматриваются условия возможного нелинейного изменения эффективного G_{loc} .

Таким образом, спектральная модель выступает как естественное развитие идей Катюшика: она сохраняет его геометрическую картину экранирования базового поля, но переводит её из монохромного описания в полноценную “цветную” теорию с явным учётом частотной структуры поля и материи.

6 Прозрачность материи и оценка α_0

Построенная в предыдущих разделах спектральная модель приводит к выражению

$$G = \frac{K}{4\pi\lambda}, \quad (27)$$

где K дан интегралом (11), а λ характеризует жёсткость среды. В пределе “серого мира” было получено упрощённое выражение

$$K \approx \alpha_0 U_0 \Omega_{\text{eff}}, \quad (28)$$

где α_0 — усреднённый коэффициент прозрачности (экранирования) материи, U_0 — уровень спектральной плотности поля, а Ω_{eff} — эффективная ширина полосы. Объединив U_0 и Ω_{eff} , удобно ввести параметр полной мощности фонового поля.

6.1 Полная мощность фонового поля

Определим

$$\Phi_{\text{bg}} = U_0 \Omega_{\text{eff}}, \quad (29)$$

который можно интерпретировать как *полную мощность фонового потока поля* в рамках монохромно-спектрального приближения. Тогда выражение (28) принимает вид

$$K \approx \alpha_0 \Phi_{\text{bg}}. \quad (30)$$

Подставляя (30) в (27), получаем

$$G = \frac{\alpha_0 \Phi_{\text{bg}}}{4\pi\lambda}. \quad (31)$$

Соответственно, усреднённый коэффициент прозрачности материи выражается через наблюдаемую гравитационную постоянную и параметры среды:

$$\alpha_0 = \frac{4\pi\lambda G}{\Phi_{\text{bg}}}. \quad (32)$$

Формула (32) показывает, что α_0 и Φ_{bg} неразделимы на уровне чисто макроскопических измерений: экспериментально фиксируется только комбинация $\alpha_0 \Phi_{\text{bg}}$, а не каждая величина по отдельности.

6.2 Два предельных сценария: “слабое поле” и “сверхплотное поле”

Рассмотрим теперь физический смысл выражения (32). При фиксированных G и λ величина α_0 определяется выбором Φ_{bg} , то есть принятым представлением об энергоплотности базового поля.

Сценарий А: “слабое поле”. Если предположить, что фон обладает малой энергоплотностью (сопоставимой с наблюдаемой барионной или космологической), то Φ_{bg} оказывается относительно небольшой величиной. Тогда из (32) следует, что

$$\alpha_0 \sim 1 \quad \text{или даже} \quad \alpha_0 \gg 1.$$

Это означало бы, что обычная материя весьма эффективно экранирует фон: то есть она *почти непрозрачна* для гравитационно-активного спектра. В таком случае при наложении тел друг на друга должны были бы наблюдаваться выраженные эффекты геометрического затенения гравитации (вплоть до заметного “экранования” одних масс другими). Однако опыт (в частности, отсутствие сколь-нибудь значимых аномалий гравитации при затмениях и взаимных перекрытиях крупных тел) не подтверждает столь сильного эффекта.

Сценарий В: “сверхплотное поле”. Альтернативный сценарий состоит в том, чтобы принять фон *сверхплотным*. В этом случае Φ_{bg} — очень большая величина, соответствующая колossalной энергоплотности базового поля. Тогда из (32) следует, что

$$\alpha_0 \ll 1,$$

то есть материя взаимодействует с полем чрезвычайно слабо и для подавляющей части спектра остаётся практически прозрачной.

При таком выборе слабость гравитации объясняется не слабостью самого поля (фоновых потоков энергии), а исключительно малой эффективностью взаимодействия барионного вещества с этим полем.

6.3 Физическая картина прозрачной материи

В рамках сценария “сверхплотного поля” складывается следующая картина:

- базовое поле обладает гигантской энергоплотностью и давлением;
- обычная материя перехватывает лишь ничтожную долю этого потока, что выражается в крайне малом α_0 ;
- гравитационная сила, наблюданная между макроскопическими телами, представляет собой малую разность двух почти компенсирующихся потоков давления.

Иначе говоря, гравитация в такой модели подобна очень слабому следствию огромного фона: тела едва заметно “затемняют” базовое поле, и результирующая сила оказывается столь же слабой, как та малая доля тени, которую они создают.

Это согласуется с наблюдаемой иерархией сил: гравитация на много порядков слабее электромагнитного взаимодействия, хотя массы и заряды принадлежат одним и тем же объектам (частицам и телам).

6.4 Ограничения макроскопического подхода и необходимость микромодели

Из формулы (32) видно, что без дополнительных предположений о природе фонового поля Φ_{bg} невозможно вычислить α_0 из первых принципов; его можно лишь калибровать, подгоняя под наблюдаемое значение G .

Для перехода к истинно предсказательной теории необходимо:

- связать Φ_{bg} с фундаментальными параметрами среды (жёсткостью, частотой отсечки, возможной планковской шкалой);
- выразить α_0 через микроскопические характеристики вещества (структуре элементарных осцилляторов, их сечения и режимы взаимодействия с полем).

Именно на этом этапе возникает естественный вопрос о возможной связи α_0 с известными безразмерными константами — в частности, с электромагнитной постоянной тонкой структуры. Этой гипотезе и постановке задачи для микрофизики посвящён следующий раздел.

7 Гипотеза связи α_0 с электромагнитной постоянной α_{EM}

Как было показано выше, в макроскопическом описании усреднённый коэффициент прозрачности материи α_0 входит в выражение для гравитационной постоянной G в виде

$$G = \frac{\alpha_0 \Phi_{\text{bg}}}{4\pi\lambda}, \quad (33)$$

где Φ_{bg} характеризует полную мощность фонового поля, а λ — жёсткость среды. Для того чтобы сделать теорию предсказательной, необходимо связать α_0 с микроскопическими параметрами — в частности, с уже известными безразмерными константами.

Естественным кандидатом на такую связь является электромагнитная постоянная тонкой структуры α_{EM} , определяющая силу взаимодействия заряда с электромагнитным полем.

7.1 Проблема иерархии сил

Из эксперимента известно, что отношение гравитационной силы к электростатической для двух протонов порядка

$$\frac{F_{\text{grav}}}{F_{\text{el}}} \sim 10^{-38}. \quad (34)$$

В то же время электромагнитное взаимодействие характеризуется безразмерной константой

$$\alpha_{\text{EM}} \approx \frac{1}{137}, \quad (35)$$

которая определяет вероятность излучения и поглощения фотонов зарядами и входит во все вычисления квантовой электродинамики.

С точки зрения спектральной модели естественно задать вопрос: можно ли представить малость гравитации относительно электромагнетизма как следствие некоторого степенного подавления по α_{EM} , связанного с особенностями продольного (гравитационно-активного) взаимодействия с той же средой?

7.2 Эффективные сечения взаимодействия

Рассмотрим, в духе простейшей кинетической модели, эффективные сечения взаимодействия частицы с полем.

Введём:

- геометрическое сечение частицы радиуса R_0 :

$$\sigma_{\text{geo}} = \pi R_0^2;$$

- эффективное электромагнитное сечение:

$$\sigma_{\text{EM}} \approx \sigma_{\text{geo}} \alpha_{\text{EM}};$$

- эффективное гравитационное сечение:

$$\sigma_{\text{grav}} \approx \sigma_{\text{geo}} \alpha_{\text{grav}},$$

где α_{grav} — безразмерная мера эффективности преобразования энергии базового поля в продольные (гравитационные) возмущения.

В этой схеме α_{EM} и α_{grav} играют аналогичные роли: первая задаёт интенсивность взаимодействия с поперечными (электромагнитными) модами, вторая — с продольными (давления) модами той же среды.

Усреднённый коэффициент прозрачности α_0 , фигурирующий в макроскопическом выражении (33), можно рассматривать как эффективное значение α_{grav} , усреднённое по спектру и внутренней структуре вещества:

$$\alpha_0 \sim \langle \alpha_{\text{grav}}(\omega) \rangle. \quad (36)$$

7.3 Степенная связь с α_{EM}

Выдвинем гипотезу, что гравитационное взаимодействие является *эффектом более высокого порядка* по отношению к электромагнитному. Тогда естественно предположить степенную зависимость

$$\alpha_0 \sim C \alpha_{\text{EM}}^n, \quad (37)$$

где:

- C — безразмерный коэффициент, зависящий от геометрии и деталей микроскопической модели;
- n — целое или полуцелое число, отражающее порядок процесса (например, одно- или многофотонные переходы, коллективные эффекты и т. д.).

При таком предположении и фиксированном Φ_{bg} выражение (33) переписывается в виде

$$G \sim \frac{C \alpha_{\text{EM}}^n \Phi_{\text{bg}}}{4\pi\lambda}. \quad (38)$$

Иерархия сил (34) тогда становится отражением того, что гравитация чувствительна лишь к высшим по порядку процессам взаимодействия с той же самой средой, которая ответственна за электромагнитное поле.

7.4 Качественная оценка показателя n

Подберём порядок величины n , исходя из наблюдаемого отношения (34). Грубая оценка заключается в следующем: если пренебречь неизвестными множителями и считать Φ_{bg} и λ фиксированными, то малость G по сравнению с характерными электромагнитными масштабами должна обеспечиваться главным образом степенью α_{EM}^n .

Поскольку

$$\alpha_{\text{EM}} \sim 10^{-2},$$

то

$$\alpha_{\text{EM}}^n \sim 10^{-2n}.$$

Чтобы получить порядок подавления $\sim 10^{-38}$, параметр n должен быть порядка

$$2n \sim 38 \Rightarrow n \sim 19.$$

Такая оценка указывает, что гравитационное взаимодействие может соответствовать *весомо высокому порядку* по α_{EM} , что напрямую ассоциируется с коллективными, многократными или сильно подавленными процессами на микроуровне.

Важно понимать, что это лишь порядковая оценка: реальное значение n и коэффициента C должно следовать из конкретной микроскопической модели, а не из простой подгонки. Тем не менее, сама идея степенного подавления даёт понятный механизм появления огромной иерархии между силами при наличии одного базового поля.

7.5 Формулировка задачи для микрофизики

С учётом сказанного, задачу можно сформулировать следующим образом:

1. Построить микроскопическую модель элементарного осциллятора (ячейки материи) в среде базового поля, в которой:
 - поперечные моды взаимодействуют с эффективностью, задаваемой α_{EM} ;
 - продольные (давления) моды возникают как эффект более высокого порядка по тем же степеням α_{EM} .
2. Вычислить для этой модели отношение эффективных сечений

$$\frac{\sigma_{\text{grav}}}{\sigma_{\text{EM}}} \sim \frac{\alpha_0}{\alpha_{\text{EM}}},$$

и показать, что оно воспроизводит наблюдаемое отношение (34) либо задаёт ему разумные верхние пределы.

3. Выразить параметры Φ_{bg} и λ через фундаментальные характеристики среды (например, через планковские или иные естественные шкалы), чтобы формула (38) стала *вычислимой* без подгонки под экспериментальное значение G .

Иными словами, гипотеза связи α_0 с α_{EM} переводит спектральную модель гравитации в разряд задач микрофизики: требуется конкретная модель “дышащей” ячейки материи, в которой гравитационный отклик возникает как сильно подавленный, но принципиально выводимый из общих принципов эффект взаимодействия с той же самой средой, которая порождает электромагнитные силы.

В следующем разделе такая микроскопическая модель будет предложена в виде сферического “дышащего” солитона, что позволит явно связать плотность энергии частицы, жёсткость вакуума и степень подавления гравитационного взаимодействия.

8 Микроскопическая модель “дышащего” солитона

Для того чтобы перейти от феноменологического параметра прозрачности α_0 к его микроскопической интерпретации, необходимо задать модель элементарной ячейки материи и описать её взаимодействие с базовым полем. В данном разделе предлагаются конкретная геометрическая картина в виде сферического “дышащего” солитона, позволяющая связать плотность энергии частицы, жёсткость вакуума и степень подавления гравитационного отклика.

8.1 Отказ от точечной частицы

Точечная модель частицы удобна в классической механике, но непригодна для описания спектрального взаимодействия с полем: у точки нет собственного размера, объёма и мод колебаний. В спектральной картине естественно рассматривать элементарную частицу как *локализованное распределение энергии* в среде базового поля.

Пусть элементарная ячейка материи имеет характерный размер R_0 , связанный с комптоновской длиной волны частицы:

$$R_0 \sim \bar{\lambda}_C = \frac{\hbar}{mc}, \quad (39)$$

где m — масса частицы, c — скорость света, \hbar — постоянная Планка. Такая оценка подчёркивает волновую природу частицы и задаёт нижнюю границу её эффективного “радиуса” как энергетического сгустка.

8.2 Сферический солитон как резонатор среды

Будем моделировать частицу как сферически-симметричный солитон — устойчивое локализованное возмущение поля радиуса порядка R_0 . Такое возмущение обладает набором собственных мод колебаний. Среди них наиболее важны две:

1. Дипольная мода (смещение, “shake”).

Центр солитона совершает колебания относительно окружающей среды или внутри солитона меняется распределение зарядов. Эти колебания возбуждают *поперечные* моды поля, соответствующие электромагнитному взаимодействию. Эффективность излучения в этой моде определяется постоянной тонкой структуры α_{EM} .

2. Монопольная мода (радиальное “дыхание”, “breathe”).

Радиус солитона $R(t)$ испытывает малые пульсации вокруг значения R_0 :

$$R(t) = R_0 + \delta R(t), \quad |\delta R| \ll R_0.$$

При этом изменяется локальная плотность энергии и давление в объёме частицы, что приводит к возбуждению *продольных* (давления) мод среды. Именно эти колебания связаны с гравитационным откликом.

Важное различие состоит в том, что среда может сравнительно легко переносить сдвиговые (поперечные) деформации, но обладает колossalной жёсткостью к объёмному сжатию. Поэтому дыхательная мода оказывается сильно подавленной по сравнению с дипольной.

8.3 Плотность энергии частицы и жёсткость вакуума

Обозначим через $\mathcal{E}_{\text{part}}$ характерную плотность энергии внутри солитона, а через \mathcal{K}_{vac} — модуль объёмной упругости (жёсткости) вакуумной среды для продольных деформаций.

При грубой оценке можно связать $\mathcal{E}_{\text{part}}$ с энергией покоя частицы и её эффективным объёмом:

$$\mathcal{E}_{\text{part}} \sim \frac{mc^2}{\frac{4}{3}\pi R_0^3} \sim \frac{mc^2}{\frac{4}{3}\pi (\hbar/(mc))^3} = \frac{3}{4\pi} \frac{m^4 c^5}{\hbar^3}. \quad (40)$$

Жёсткость вакуума \mathcal{K}_{vac} не известна непосредственно, но естественно предположить, что она сопоставима с некоторой фундаментальной (например, планковской) плотностью энергии:

$$\mathcal{K}_{\text{vac}} \sim \mathcal{E}_{\text{fund}}, \quad (41)$$

где $\mathcal{E}_{\text{fund}}$ многократно превосходит любую барионную плотность энергии. Тогда отношение

$$\eta = \frac{\mathcal{E}_{\text{part}}}{\mathcal{K}_{\text{vac}}} \quad (42)$$

оказывается чрезвычайно малым:

$$\eta \ll 1.$$

Для протона при разумных предположениях о \mathcal{K}_{vac} величина η может быть порядка 10^{-19} или меньше.

8.4 Коэффициент подавления гравитационного отклика

Рассмотрим теперь, как малая амплитуда дыхательных колебаний конвертируется в эффективный коэффициент прозрачности α_{grav} . В линейной теории упругости мощность излучения продольных волн сферически пульсирующим источником пропорциональна квадрату относительной деформации. Соответственно, естественно предположить зависимость

$$\alpha_{\text{grav}} \sim \eta^n = \left(\frac{\mathcal{E}_{\text{part}}}{\mathcal{K}_{\text{vac}}} \right)^n, \quad (43)$$

где показатель n отражает порядок процесса (для простейшего радиального “насоса” в линейном режиме ожидается $n \approx 2$).

При $\eta \sim 10^{-19}$ и $n = 2$ имеем

$$\alpha_{\text{grav}} \sim (10^{-19})^2 = 10^{-38},$$

что по порядку согласуется с отношением (34) между гравитационным и электромагнитным взаимодействиями. Таким образом, чрезвычайная слабость гравитации естественно объясняется как следствие огромной жёсткости вакуума: плотности энергии частиц слишком малы, чтобы существенно “взволновать” среду в дыхательном режиме.

Усреднённый коэффициент прозрачности α_0 , фигурирующий в макроскопических формулах, можно интерпретировать как спектрально и статистически усреднённое значение α_{grav} :

$$\alpha_0 \sim \langle \alpha_{\text{grav}}(\omega) \rangle \sim \left\langle \left(\frac{\mathcal{E}_{\text{loc}}(\omega)}{\mathcal{K}_{\text{vac}}} \right)^n \right\rangle, \quad (44)$$

где $\mathcal{E}_{\text{loc}}(\omega)$ — локальные плотности энергии на различных частотах в составе спектра.

8.5 Графическая иллюстрация прозрачности материи

Для наглядности рассмотрим зависимость α_{grav} от параметра η при $n = 2$:

$$\alpha_{\text{grav}}(\eta) = \eta^2.$$

На рисунке 1 показана эта зависимость в логарифмических координатах по η , для диапазона η от 10^{-20} до 1. Хорошо видно, что во всей области $\eta \ll 1$ коэффициент

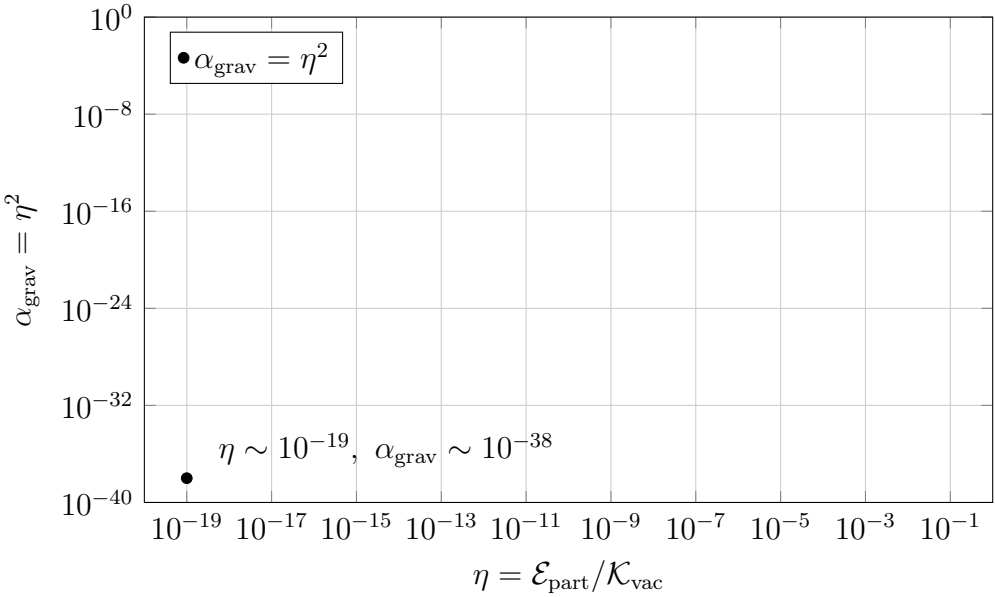


Рис. 1: Зависимость коэффициента гравитационного отклика α_{grav} от относительной плотности энергии $\eta = \mathcal{E}_{\text{part}}/\mathcal{K}_{\text{vac}}$ при $n = 2$. Для типичных барионных плотностей ($\eta \sim 10^{-19}$) материя оказывается почти полностью прозрачной для гравитационно-активного спектра поля.

α_{grav} принимает чрезвычайно малые значения: при $\eta = 10^{-19}$ имеем $\alpha_{\text{grav}} = 10^{-38}$, а при ещё меньших η гравитационный отклик практически исчезает.

Этот график подчёркивает ключевую идею спектральной модели: *материя почти прозрачна для гравитации* не потому, что базовое поле слабо, а потому, что плотность энергии частиц ничтожна по сравнению с жёсткостью вакуумной среды.

8.6 Выводы раздела

Предложенная модель “дышащего” солитона показывает, что:

- гравитационный отклик может трактоваться как продольная (давления) мода колебаний той же среды, которая поддерживает электромагнитные поперечные моды;
- из-за огромной жёсткости вакуума относительно объёмных деформаций коэффициент α_{grav} оказывается сильно подавленным и масштабируется как степень малого отношения $\mathcal{E}_{\text{part}}/\mathcal{K}_{\text{vac}}$;
- при разумных оценках параметров эта схема естественно воспроизводит иерархию сил порядка 10^{-38} между гравитацией и электромагнетизмом;
- графическая зависимость $\alpha_{\text{grav}}(\eta) = \eta^2$ демонстрирует, что для типичных барионных плотностей материи гравитация действительно является эффектом крайне малой “непрозрачности” по отношению к сверхжёсткому фоновому полулю.

В следующем разделе будет рассмотрено, как изменение локальной плотности энергии и состояния материи может вывести систему из линейного режима и приве-

сти к нелинейной гравитации и условиям для инженерного управления эффективной гравитационной постоянной G_{loc} .

9 Нелинейная гравитация и условия управления полем

В предыдущем разделе была рассмотрена микроскопическая модель сферического “дышащего” солитона, в которой гравитационный отклик описывается как сильно подавленная продольная мода колебаний сверхжёсткой вакуумной среды. Было показано, что эффективный коэффициент гравитационного отклика масштабируется как

$$\alpha_{\text{grav}} \sim \left(\frac{\mathcal{E}_{\text{part}}}{\mathcal{K}_{\text{vac}}} \right)^n, \quad (45)$$

и при типичных барионных плотностях энергии оказывается чрезвычайно малым ($\sim 10^{-38}$). В настоящем разделе обсуждается, какие следствия имеет этот факт для нелинейности гравитации и возможности инженерного управления полем.

9.1 Функция прозрачности как функция состояния

В макроскопическом описании основной характеристикой взаимодействия материи с фоновым полем является усреднённый коэффициент прозрачности (экранирования) α_0 , входящий в формулу

$$G = \frac{\alpha_0 \Phi_{\text{bg}}}{4\pi\lambda}. \quad (46)$$

В разделе 8 было показано, что α_0 можно интерпретировать как усреднённое значение α_{grav} , зависящее от локальной плотности энергии и спектрального распределения:

$$\alpha_0 \sim \left\langle \left(\frac{\mathcal{E}_{\text{loc}}(\omega)}{\mathcal{K}_{\text{vac}}} \right)^n \right\rangle. \quad (47)$$

Таким образом, α_0 в строгом смысле не является фундаментальной константой: это *функция состояния* вещества и поля. В обычных условиях (атомные и молекулярные состояния, отсутствие экстремальных энергий и когерентности) все $\mathcal{E}_{\text{loc}}(\omega)$ столь малы по сравнению с \mathcal{K}_{vac} , что α_0 можно считать постоянной с высокой точностью. Однако при изменении состояния среды (рост локальной энергоплотности, возникновение резонансов, когерентных состояний) возможен выход из линейного режима.

9.2 Условие выхода из линейного режима

Пусть локальная плотность энергии в некотором объёме достигает величины \mathcal{E}_{loc} . Характерным параметром является

$$\eta_{\text{loc}} = \frac{\mathcal{E}_{\text{loc}}}{\mathcal{K}_{\text{vac}}}. \quad (48)$$

В линейном режиме $\eta_{\text{loc}} \ll 1$ и можно считать $\alpha_{\text{grav}}(\eta_{\text{loc}}) \approx \text{const}$, что приводит к постоянному G . При увеличении η_{loc} вклад высших степеней в (45) возрастает, и зависимость $\alpha_{\text{grav}}(\eta_{\text{loc}})$ становится заметно нелинейной.

Введём условно *критическую* плотность энергии $\mathcal{E}_{\text{crit}}$, при которой начинается отклонение от линейного режима:

$$\left(\frac{\mathcal{E}_{\text{crit}}}{\mathcal{K}_{\text{vac}}}\right)^n \sim \alpha_{\text{lin}}, \quad (49)$$

где α_{lin} — характерный уровень прозрачности, соответствующий наблюдаемой “линейной” гравитации. Для $\mathcal{E}_{\text{loc}} \ll \mathcal{E}_{\text{crit}}$ гравитация остаётся effectively линейной, а для $\mathcal{E}_{\text{loc}} \gtrsim \mathcal{E}_{\text{crit}}$ возможно заметное изменение α_0 и, следовательно, локальной гравитационной постоянной.

9.3 Локальная гравитационная постоянная

Если учесть, что α_0 зависит от состояния среды, формулу (46) следует писать в виде

$$G_{\text{loc}} = \frac{\alpha_{\text{eff}}(\mathcal{E}_{\text{loc}}, \{\omega\}) \Phi_{\text{bg}}}{4\pi\lambda}, \quad (50)$$

где α_{eff} — эффективный коэффициент прозрачности, зависящий от:

- локальной плотности энергии \mathcal{E}_{loc} ;
- спектрального состава возбуждения (распределения по ω);
- степени когерентности (наличия коллективных квантовых состояний).

Соответственно, локальное гравитационное ускорение вблизи активной области может быть представлено как

$$g_{\text{loc}}(\mathbf{r}, t) = G_{\text{loc}}(\mathcal{E}_{\text{loc}}, \{\omega\}) \frac{M_{\text{eff}}}{r^2} + \dots, \quad (51)$$

где M_{eff} — эффективная масса, создающая поле, а многоточие обозначает дополнительные геометрические и спектральные поправки.

В классической (линейной) теории $G_{\text{loc}} = G = \text{const}$, и все возможные аномалии гравитации сводятся к перераспределению масс. В спектральной модели добавляется новый канал: *изменение самого коэффициента пропорциональности* между массой и гравитационным полем.

9.4 Три канала управления гравитационным откликом

На основании предыдущих разделов можно выделить три принципиально различных канала, через которые изменение состояния вещества может повлиять на α_{eff} и, следовательно, на G_{loc} .

1. Плотностный канал (ядерные и сверхплотные состояния). Если удаётся создать макроскопические области с экстремальной плотностью энергии (сверхплотная плазма, ядерные изомеры, сильно сжатая материя), параметр η_{loc} увеличивается непосредственно. В этом случае:

- $\mathcal{E}_{\text{loc}} \rightarrow$ ядерной или сверхядерной плотности;
- η_{loc} может приблизиться к $\mathcal{E}_{\text{crit}}/\mathcal{K}_{\text{vac}}$;
- α_{eff} растёт за счёт плотностной нелинейности $\alpha_{\text{grav}} \sim \eta_{\text{loc}}^n$.

Практически этот канал связан с высокоэнергетическими технологиями и имеет жёсткие ограничения по безопасности и масштабируемости.

2. Частотный (резонансный) канал. Даже при умеренных плотностях энергии \mathcal{E}_{loc} эффективный отклик может усиливаться при совпадении частоты внешнего воздействия с собственными частотами дыхательных мод солитонов. В этом случае:

- $\alpha_{\text{grav}}(\omega)$ приобретает резонансные пики;
- эффективное α_{eff} в (47) возрастает за счёт узкой полосы ω , в которой α_{grav} значительно больше своего фона;
- возможно возбуждение когерентных дыхательных мод в массиве частиц (аналог коллективного резонанса).

Этот канал связан с использованием высокочастотных полей (СВЧ, ТГц и выше), настроенных на специфические частоты микроструктур вещества.

3. Коллективный (когерентный) канал. Если множество частиц переходит в макроскопическое когерентное состояние (как в случае сверхпроводников, бозе–эйнштейновских конденсатов и т. п.), эффективное сечение взаимодействия может расти быстрее, чем линейно по числу частиц:

$$\alpha_{\text{eff}}^{(N)} \propto N^\gamma, \quad 1 < \gamma \leq 2, \quad (52)$$

где N — число когерентно связанных осцилляторов. При $\gamma \rightarrow 2$ речь идёт о квадратичном усилении за счёт фазовой когерентности (аналог суперизлучения).

В этом случае даже при малой η_{loc} для каждой частицы в отдельности коллективный эффект может приводить к заметному изменению α_{eff} на макроскопическом уровне.

9.5 Инженерная формулировка задачи

С точки зрения прикладной физики задача управления гравитационным полем в спектральной модели формулируется следующим образом:

Найти такие конфигурации вещества и поля, при которых $\alpha_{\text{eff}}(\mathcal{E}_{\text{loc}}, \{\omega\}, N)$ существенно отличается от своего фонового значения α_0 , при этом:

1. выполняются энергетические и технологические ограничения;
2. система остаётся устойчивой и управляемой;
3. изменение G_{loc} или g_{loc} поддаётся надёжному измерению.

В консервативном варианте речь идёт о малых, но измеримых вариациях $\Delta g/g \ll 1$, важных для фундаментальных тестов гравитации и прецизионной метрологии. В более радикальных сценариях допускается возможность существенного изменения локального гравитационного отклика, что открывает перспективы гравитационной инженерии в сильном смысле (частичное экранирование, усиление или направленное управление).

9.6 Выводы раздела

Рассмотрение нелинейной зависимости α_{eff} от состояния материи и поля показывает, что:

- наблюдаемая слабость гравитации соответствует глубокому линейному режиму, в котором $\mathcal{E}_{\text{loc}} \ll \mathcal{E}_{\text{crit}}$, а $\alpha_{\text{eff}} \approx \alpha_0 = \text{const}$;
- при достижении экстремальных плотностей энергии, резонансных частот или когерентных квантовых состояний возможно выход из линейного режима и изменение эффективной гравитационной постоянной G_{loc} ;
- инженерное управление гравитацией в спектральной модели сводится к задаче управляемого изменения функции α_{eff} за счёт комбинации плотностного, частотного и коллективного каналов.

В следующих разделах эти общие выводы будут сопоставлены с существующими экспериментальными данными и предложены схемы решающих экспериментов, способных проверить наличие нелинейного, управляемого компонента гравитационного взаимодействия.

10 Астрономические следствия спектральной модели

В предыдущих разделах гравитация рассматривалась как результат спектрального экранирования изотропного фонового поля. В такой картине гравитационный отклик зависит не только от распределения масс, но и от спектральных свойств поля и частотно-зависимой прозрачности материи $\alpha(\omega)$. Это приводит к качественно новому типу эффектов, которые отсутствуют в классической ньютонаской и релятивистской (ОТО) схемах, где гравитация определяется только метрикой и тензором энергии–импульса.

В данном разделе рассматриваются астрономические явления, в которых спектральная модель предсказывает специфические эффекты, связанные с перекрытием “теней” в спектре фонового поля. Наиболее наглядным примером являются полные солнечные затмения.

10.1 Спектральная тень и нарушение простой суперпозиции

В классической гравитации при линейном приближении поле от системы тел получается как суперпозиция полей отдельных источников. В частности, гравитационное ускорение на поверхности Земли в момент затмения Солнца Луной определяется простым векторным сложением полей Солнца, Луны и Земли как таковой.

В спектральной модели ситуация сложнее. Пусть поток фонового поля, приходящий из некоторого телесного угла $d\Omega$, описывается спектральной плотностью $U_{\text{bg}}(\omega)$. Наличие массивного тела на этом направлении частично экранирует этот поток, создавая *спектральную тень*:

$$U_{\text{eff}}(\omega) = U_{\text{bg}}(\omega) [1 - \beta(\omega)], \quad (53)$$

где $\beta(\omega)$ характеризует степень ослабления (экранирования) для данной частоты.

Если в том же телесном угле появляется второе тело, частично перекрывающее первое, результирующее ослабление потока в общем случае *не равно* простой сумме ослаблений от каждого тела по отдельности: уже профильтрованный спектр не может быть экранирован вторично в тех же частотах с той же эффективностью. Возникает нелинейный по экранированию эффект, который можно рассматривать как взаимодействие спектральных теней.

С точки зрения эффективного параметра K , см. (11), это означает, что в области перекрытия тел происходит изменение спектрального интеграла

$$K = \int_0^\infty W(\omega) U_{\text{eff}}(\omega) \alpha(\omega) d\omega, \quad (54)$$

и, следовательно, локальное изменение эффективной гравитационной постоянной

$$G_{\text{eff}} \propto K. \quad (55)$$

10.2 Солнечные затмения как естественный эксперимент

Полное солнечное затмение представляет собой уникальную конфигурацию: Луна проходит между Солнцем и Землёй, частично или полностью перекрывая солнечный диск. В классической теории гравитации прогнозируется лишь незначительное изменение гравитационного ускорения на поверхности Земли, связанное с геометрическим изменением направлений притяжения Солнцем и Луной (приливные эффекты). Эти изменения малы и хорошо рассчитываются в ньютоновской аппроксимации.

В спектральной модели затмение сопровождается не только изменением освещённости, но и более сложной перестройкой спектральной структуры фонового поля в окрестности наблюдателя:

- Луна экранирует не только видимый свет, но и часть гравитационно-активного спектра фонового поля.
- Солнце само является мощным модулятором поля и создаёт свою спектральную тень, зависящую от внутренней структуры и излучательных свойств.
- Перекрытие Луной солнечного диска изменяет комбинацию тени от Солнца и экранирующих свойств Луны, что приводит к изменению эффективного спектрального интеграла K в зоне полной тени (умбры) и полутиени.

В результате может возникать небольшой, но принципиально не нулевой сдвиг локального G_{eff} и, соответственно, гравитационного ускорения g , который не сводится к обычным приливным силам и имеет специфическую пространственно–временную структуру, жёстко привязанную к геометрии тени.

10.3 Феноменология маятниковых аномалий

На протяжении нескольких десятилетий энтузиастами и отдельными исследовательскими группами предпринимались попытки регистрации аномалий в поведении маятников и гравиметров во время полных солнечных затмений. Сообщалось, в частности, о:

- небольших, но коррелированных изменениях периода колебаний маятников;

- отклонениях от ожидаемого поведения маятников Фуко (эффект изменения плоскости качания);
- вариациях показаний прецизионных гравиметров, выходящих за рамки принятых моделей приливных возмущений.

Эти результаты остаются дискуссионными: часть экспериментов не получила подтверждения, возможны систематические эффекты, связанные с температурой, атмосферой, механическими дрейфами приборов. Однако с точки зрения спектральной модели важно, что сама постановка подобных экспериментов чувствительна именно к тем величинам, которые должны изменяться при перекрытии спектральных теней: локальному G_{eff} и структуре гравитационного поля в зоне тени.

10.4 Интерпретация в рамках спектральной тени

Рассмотрим качественно, как спектральная модель интерпретирует возможные аномалии маятников во время затмения.

1. Изменение спектрального состава поля.

В зоне полной тени поток поля, приходящий из направления Солнца, модифицируется Лунной тенью. Поскольку $\alpha(\omega)$ для земного вещества и приборов зависит от частоты, спектральный интеграл K , см. (54), изменяется по величине и, возможно, по направлению эффективного градиента.

2. Локальная анизотропия давления.

Если ослабление поля по частотам и направлениям несимметрично (что естественно в конфигурации “Солнце–Луна–Земля”), результирующее давление на маятник может приобрести малую боковую составляющую. Это приведёт к смещению равновесной плоскости его колебаний.

3. Временная структура сигнала.

Поскольку геометрия перекрытия дисков Солнца и Луны меняется во времени, эффект должен иметь характерный временной профиль: нарастание аномалии по мере входа в тень, максимум вблизи полной фазы, спад при выходе из тени. Форма этого профиля определяется совокупностью функций $W(\omega)$, $U_{\text{eff}}(\omega)$ и $\alpha(\omega)$.

В классической теории гравитации любое изменение показаний маятника во время затмения должно быть полностью объяснимо приливными силами и локальными условиями (температура, ветер, вибрации). Любые дополнительные коррелированные эффекты рассматривались бы как указание на наличие *дополнительного канала* гравитационного взаимодействия.

В спектральной модели такой канал появляется естественно: изменение спектральной структуры фонового поля приводит к малым, но принципиально не нулевым вариациям K и G_{eff} .

10.5 Требования к астрономическим тестам

Для того чтобы использовать явления типа солнечных затмений в качестве строгого теста спектральной гравитации, необходима тщательная постановка наблюдений:

- синхронная регистрация показаний нескольких независимых приборов (маятников, гравиметров, акселерометров) в разных географических точках;
- точный учёт всех классических эффектов: приливных сил, атмосферных изменений, температурных дрейфов, сейсмического фона;
- сравнение профиля наблюдаемых аномалий с расчётным профилем, исходящим из конкретной спектральной модели $U_{bg}(\omega)$ и $\alpha(\omega)$.

На текущем этапе имеющаяся астрономическая феноменология не позволяет говорить о подтверждении или опровержении спектральной модели. Однако она задаёт класс явлений, где различие между классической и спектральной гравитацией проявляется наиболее явно: в конфигурациях с перекрытием теней и сложной геометрией экранирующих тел.

В следующих разделах внимание будет перенесено на лабораторные системы с управляемыми состояниями вещества (сверхпроводники, плазма и т. п.), где спектральные эффекты могут быть исследованы в более контролируемых условиях.

11 Лабораторные системы с высокой энергоплотностью и когерентностью

Астрономические конфигурации (затмения, перекрытие массивных тел) дают важные качественные подсказки о возможных спектральных эффектах в гравитации, но слабо поддаются контролю и повторяемости. В лаборатории, напротив, можно создавать управляемые состояния вещества, в которых локальная плотность энергии \mathcal{E}_{loc} , спектральный состав возбуждений и степень когерентности поддаются регулировке. В этом разделе рассматриваются классы систем, которые с точки зрения спектральной модели наиболее перспективны для обнаружения нелинейного гравитационного отклика.

11.1 Сверхпроводники как макроскопические квантовые объекты

В состоянии сверхпроводимости электронная подсистема конденсируется в когерентное квантовое состояние: электроны объединяются в куперовские пары, а последние образуют макроскопический конденсат, описываемый единой волновой функцией $\Psi(\mathbf{r})$. Это приводит к ряду известных эффектов (идеальная проводимость, эффект Мейснера, квантование потоков и т. д.), но в спектральной модели сверхпроводник приобретает дополнительный смысл.

С точки зрения взаимодействия с фоновым полем:

- сверхпроводник представляет собой *когерентный ансамбль* большого числа осцилляторов (куперовские пары), колеблющихся согласованным образом;
- спектральный отклик такой системы $\alpha_{eff}(\omega)$ может существенно отличаться от отклика того же материала в нормальном состоянии;
- вблизи характерных частот конденсата возможны резонансные пики $\alpha_{eff}(\omega)$, усиливающие продольные (давления) моды среды.

Коллективный характер состояния приводит к тому, что эффективное сечение взаимодействия с полем может масштабироваться по числу участвующих частиц N нелинейно:

$$\alpha_{\text{eff}}^{(N)} \propto N^\gamma, \quad 1 < \gamma \leq 2, \quad (56)$$

где $\gamma \rightarrow 2$ соответствует предельно когерентному режиму (аналог суперизлучения в оптике). Даже при малой η_{loc} для каждой частицы отдельно общее α_{eff} для макроскопического сверхпроводника может оказаться заметно больше фонового значения.

С точки зрения возможных гравитационных эффектов сверхпроводник в спектральной модели выступает как *настраиваемый резонатор* и *зеркало* для части гравитационно-активного спектра, что делает его одним из главных кандидатов для лабораторных поисков нелинейного отклика.

11.2 Вращающиеся сверхпроводящие системы

Особый интерес представляют конфигурации, в которых сверхпроводник не только находится в когерентном состоянии, но и испытывает макроскопическое вращение. Вращающийся сверхпроводящий диск сочетает в себе:

- жёстко заданную геометрию (плоский диск конечного радиуса);
- когерентный конденсат куперовских пар, подчинённый квантовым условиям (квантование циркуляции, топологические дефекты фазы);
- макроскопическое вращение, создающее неинерционную систему отсчёта и вихревую структуру токов.

В спектральной гидродинамической аналогии такие конфигурации можно рассматривать как источники *вихревых возмущений* в распределении эффективного давления фонового поля. Качественно:

- вращение когерентной фазы создаёт устойчивую топологическую структуру, препятствующую быстрой диссиpации возмущений;
- в окрестности диска возможно формирование области, в которой спектральный интеграл K (и, следовательно, G_{loc}) отличается от фонового значения;
- над и под плоскостью диска может возникать зона пониженного или перераспределённого давления поля — *трубка экранирования*, в которой эффективное g_{loc} для пробных масс слегка изменено.

Подобного рода эффекты обсуждались в контексте экспериментов с вращающимися сверхпроводящими дисками, хотя на сегодняшний день ни один из заявленных результатов (аномалии веса, эффекты фрейм-драгинга аномальной величины) не получил общепризнанного подтверждения. Тем не менее, именно такие установки представляют интерес как испытательный полигон для спектральной модели: они объединяют высокую когерентность, макроскопическую управляемую геометрию и возможность модуляции состояния (включение/выключение сверхпроводимости, изменение скорости вращения).

11.3 Высокоэнергетическая плазма и импульсные разряды

Ещё один класс систем связан с состояниями вещества, в которых локальная плотность энергии \mathcal{E}_{loc} достигает экстремальных значений. Речь идёт о:

- сильноточных импульсных разрядах (*Z-пинчи*, фокусирующих плазменных устройствах);
- плазме в режимах сильного сжатия и нагрева;
- возможных переходных состояниях с образованием сверхплотных фаз.

В моменты максимального сжатия плазмы \mathcal{E}_{loc} может приближаться к ядерным плотностям, и параметр η_{loc} в (48) заметно увеличивается. Согласно (45), это ведёт к росту α_{grav} , а значит, и α_{eff} .

С точки зрения спектральной модели это означает:

- вблизи фокуса разряда или плазменного шнура могут возникать кратковременные *гравитационные импульсы*, обусловленные резким изменением локальной прозрачности среды;
- такие импульсы имеют характерную временную структуру (связь с фазой разряда) и ориентацию относительно геометрии токов и магнитных полей;
- основная трудность их регистрации состоит в отделении от сильного электромагнитного и механического шума.

Практически это направление требует сочетания мощных плазменных установок с высокочувствительными дифференциальными гравиметрами или инерциальными датчиками, способными регистрировать очень малые, но синхронные с разрядом вариации g_{loc} .

11.4 Ограничения и требования к постановке экспериментов

Общие требования к лабораторным экспериментам, направленным на поиск спектральных гравитационных эффектов, можно сформулировать следующим образом:

1. Ясно определяемая и управляемая активная среда.

Необходимо, чтобы изменения состояния вещества (переход в сверхпроводимость, включение/выключение разряда, изменение частоты возбуждения) были чётко контролируемы и воспроизводимы.

2. Высокая степень экранирования и компенсации фоновых влияний.

Требуется максимально исключить или учесть:

- электромагнитные наводки;
- механические вибрации;
- температурные и атмосферные дрейфы;
- локальные нерегулярности гравитационного поля (смещения масс, транспорт).

3. Дифференциальные схемы измерения.

Применение дифференциальных гравиметров, парных маятников, симметричных схем размещения датчиков позволяет выделить малую разность в g_{loc} между областью, находящейся под влиянием активной среды, и областью, выступающей в роли контроля.

4. Статистическая значимость и повторяемость.

Любые заявленные эффекты должны воспроизводиться при многократных включениях и выключении активного состояния, иметь устойчивое фазовое соотношение с управляющими параметрами и выдерживать независимую проверку.

С точки зрения спектральной модели, успешная реализация таких экспериментов позволит:

- либо существенно сузить допустимый диапазон параметров $\alpha_{\text{eff}}(\mathcal{E}_{\text{loc}}, \{\omega\}, N)$, фактически подведя модель к классической гравитации как предельному случаю;
- либо выявить малые, но устойчивые отклонения от линейного поведения, указывающие на существование нелинейного управляемого компонента гравитационного взаимодействия.

В следующем разделе будет сформулирован пример решающего лабораторного опыта на основе дифференциальной гравиметрии над управляемой активной средой и обсуждены критерии, по которым такая постановка может служить строгим тестом спектральной гравитации.

12 Решающий дифференциальный эксперимент

Предыдущие разделы показали, что спектральная модель гравитации приводит к следующим ключевым выводам:

- гравитационная постоянная G выражается через спектральный параметр взаимодействия K и жёсткость среды λ , см. (10) и (46);
- эффективный коэффициент прозрачности α_{eff} зависит от локального состояния материи и поля, см. (47);
- локальная гравитационная постоянная G_{loc} может, в принципе, отличаться от глобального G в областях, где существенны нелинейные, резонансные или коллективные эффекты, см. (50).

Эти утверждения радикально отличаются от классической картины, в которой гравитационная постоянная является повсюду одинаковой константой. Поэтому для проверки спектральной модели требуется *решающий эксперимент*, который:

1. сравнивает предсказания спектральной и классической теорий в одной и той же конфигурации;
2. обладает достаточной чувствительностью к возможным изменениям G_{loc} или g_{loc} ;

3. максимально исключает систематические ошибки и фоновые эффекты.

В данном разделе формулируется схема такого эксперимента на основе дифференциальной гравиметрии над управляемой активной средой.

12.1 Концепция дифференциальной постановки

Классический подход к измерению гравитации опирается на абсолютные приборы: баллистические гравиметры, маятники, торзионные весы. В спектральной модели более удобна *дифференциальная* схема, в которой измеряется разность гравитационного ускорения между двумя близкими точками пространства, одна из которых находится над активной средой, а другая служит контролем.

Пусть:

- в области объёма V_{act} размещается *активная среда*, состояние которой можно изменять во времени (переход в сверхпроводимость, запуск высокочастотного возбуждения, импульсный разряд и т. п.);
- над этой областью на высоте h находится *измерительный датчик* гравитационного ускорения (маятник, гравиметр, инерциальный датчик);
- на таком же расстоянии от активной зоны, но вне её прямого влияния размещён *контрольный датчик*, испытывающий те же внешние условия, но не связанный с активной средой.

Измеряется величина

$$\Delta g(t) = g_{\text{act}}(t) - g_{\text{ref}}(t), \quad (57)$$

где $g_{\text{act}}(t)$ — показания датчика над активной областью, а $g_{\text{ref}}(t)$ — показания контрольного датчика.

Предсказания классической теории. В классической гравитации при переключении состояния активной среды (переход нормальное \leftrightarrow сверхпроводящее, включение \leftrightarrow выключение высокочастотного поля и т. п.) $\Delta g(t)$ должно изменяться только за счёт тривиальных эффектов:

- небольших термических деформаций несущих конструкций;
- вибраций, вызываемых работой оборудования;
- возможных смещений масс (охлаждение, изменение плотности).

При аккуратной конструктивной реализации и достаточном экранировании все эти вклады могут быть сведены к уровню, существенно меньшему чувствительности приборов.

Предсказания спектральной модели. В спектральной модели включение активной среды изменяет локальный коэффициент $\alpha_{\text{eff}}(\mathcal{E}_{\text{loc}}, \{\omega\}, N)$ в области V_{act} . Если активная зона расположена между источником гравитационного поля (например, Землёй) и измерительным датчиком, изменение α_{eff} приводит к малой вариации локальной гравитационной постоянной G_{loc} и, следовательно, к вариации $g_{\text{act}}(t)$. При этом $g_{\text{ref}}(t)$ остается неизменным (за исключением общих фоновых воздействий), что делает $\Delta g(t)$ прямым индикатором спектрального эффекта.

12.2 Общая схема установки

Схематично установка может быть представлена в виде трёх модулей:

1. Активный модуль.

Объём V_{act} , в котором создаётся управляемое состояние с повышенной \mathcal{E}_{loc} , специфическим спектральным составом или высокой когерентностью. Возможные реализации:

- массивный сверхпроводящий диск или цилиндр, охлаждаемый ниже критической температуры и, при необходимости, вращаемый;
- высоко-Q резонатор (электрический или механический), возбуждаемый высокочастотным полем;
- зона импульсного разряда или плазменного сжатия (для кратковременных экспериментов).

2. Гравиметрический модуль.

Два (или более) высокочувствительных датчика гравитационного ускорения, размещённых таким образом, что один находится в зоне влияния активного модуля, а другой служит контролем. Возможные реализации:

- пара маятников (или крутильных маятников) с оптической регистрацией положения;
- пара относительных гравиметров;
- пара инерциальных сенсоров на базе атомных интерферометров или механических резонаторов.

3. Модуль синхронизации и регистрации.

Система управления состоянием активного модуля (включение/выключение, изменение частоты, переходы фазового состояния) синхронизирована с записью данных $\Delta g(t)$. Активный модуль и датчики помещены в экранированный, термостабилизированный объём для минимизации внешних возмущений.

12.3 Сигнатуры спектральной модели

Спектральная модель предсказывает следующие характерные признаки возможного сигнала:

• Корреляция с состоянием активной среды.

Временная зависимость $\Delta g(t)$ должна быть статистически коррелирована с переключениями состояния активного модуля (переходы фаз, включение высокочастотного возбуждения, импульсы разряда). При случайной перестановке меток “состояние включено/выключено” корреляция должна исчезать.

• Отсутствие эффекта в контрольной точке.

Любые изменения $g_{ref}(t)$, не связанные с активной средой, должны компенсироваться в дифференциальном сигнале. Сигнал $\Delta g(t)$ должен локализоваться во времени и пространстве в зоне влияния активного модуля.

- **Зависимость амплитуды от параметров состояния.**

При изменении амплитуды возбуждения, частоты, скорости вращения или других параметров активной среды амплитуда и форма $\Delta g(t)$ должны меняться закономерно. Это позволяет построить эмпирическую зависимость $\Delta g(\mathcal{E}_{\text{loc}}, \omega, N)$ и сопоставить её с теоретическими выражениями для α_{eff} .

Классическая теория, в которой G строго постоянно, не допускает подобных коррелированных вариаций $\Delta g(t)$, если исключены все обычные систематические факторы.

12.4 Оценка чувствительности и шумы

Требуемая чувствительность эксперимента определяется ожидаемым относительным изменением локального гравитационного ускорения:

$$\frac{\Delta g}{g} \sim \frac{\Delta G_{\text{loc}}}{G}. \quad (58)$$

С одной стороны, существующие лабораторные и астрофизические ограничения подсказывают, что $\Delta G_{\text{loc}}/G$ в реалистичных условиях крайне мало (по крайней мере, $\ll 10^{-6}$). С другой стороны, современные гравиметрические технологии достигают чувствительности вплоть до $\Delta g/g \sim 10^{-9}$ и ниже на разумных временах интегрирования.

Основные источники шума:

- сейсмический фон и вибрации;
- температурные дрейфы опорных конструкций;
- электромагнитные наводки;
- микроскопические смещения масс (например, связанных с охлаждением).

Применение дифференциальной схемы (57), жёстких опор, экранирования и активной виброкомпенсации позволяет существенно ослабить эти факторы. В идеале эксперимент должен достигать уровня, при котором любая систематическая вариация $\Delta g/g$ выше некоторого порога (например, 10^{-8} – 10^{-9}) либо однозначно объясняется известными эффектами, либо требует нового физического объяснения.

12.5 Программа исследований

Реализация описанной схемы предполагает не один, а целый цикл экспериментов:

1. **Этап 1: калибровка и подтверждение отсутствия тривиальных эффектов.**

На этом этапе активный модуль заменяется инертной нагрузкой, имитирующей массу и тепловой режим реальной установки. Проверяется, что при переключениях режимов $\Delta g(t)$ остаётся в пределах ожидаемого шума.

2. **Этап 2: простейшие активные среды.**

Используются относительно простые конфигурации (например, массивный сверхпроводник без вращения), чтобы проверить наличие коррелированных изменений $\Delta g(t)$ при переходе в сверхпроводящее состояние и обратно.

3. Этап 3: резонансные и вращающиеся конфигурации.

Вводятся высокочастотные возбуждения и вращения, чтобы усилить возможные нелинейные и коллективные эффекты. Исследуется зависимость $\Delta g(t)$ от частоты и амплитуды возбуждения.

4. Этап 4: сопоставление с теорией.

При наличии устойчивых, воспроизводимых эффектов проводится количественное сравнение с предсказаниями спектральной модели для $\alpha_{\text{eff}}(\mathcal{E}_{\text{loc}}, \{\omega\}, N)$. В противном случае устанавливаются новые верхние пределы на возможные вариации $\Delta G_{\text{loc}}/G$.

12.6 Роль решающего эксперимента в развитии теории

Решающий дифференциальный эксперимент играет ключевую роль для спектральной модели гравитации:

- **При отсутствии эффекта** (в пределах достигнутой чувствительности) спектральная модель должна быть либо существенно ужата (до фактического совпадения с классической гравитацией в лабораторных условиях), либо дополнена такими ограничениями на α_{eff} , которые делают нелинейные эффекты практически недостижимыми.
- **При наличии устойчивого эффекта** возникает необходимость пересмотра представлений о гравитации как о строго геометрическом явлении. Подтверждённое изменение Δg , не объяснимое классическими причинами, будет прямым указанием на существование спектрального канала взаимодействия с фоновым полем и, тем самым, на возможность гравитационной инженерии в том или ином виде.

Таким образом, поставленный в строгих условиях дифференциальный гравиметрический эксперимент над управляемой активной средой является центральным практическим тестом спектральной гравитации и естественным мостом между теорией и возможными будущими технологиями.

13 Заключение: от теоретического синтеза к гравитационной инженерии

В данной работе была предложена и развернута спектральная модель гравитации, в которой гравитационное взаимодействие рассматривается не как фундаментальное свойство геометрии пространства–времени, а как проявление экранирования изотропного спектрального потока поля материальными объектами. Ключевую роль взаимодействия играет спектральный коэффициент прозрачности $\alpha(\omega)$, определяющий, какая доля фонового потока в данной частотной области доходит до наблюдателя.

В этом разделе кратко суммируются основные теоретические результаты, текущий статус их экспериментальной проверки и возможные перспективы развития гравитационной инженерии в рамках спектральной картины.

13.1 Итоги теоретического синтеза

1. Обобщение идеи Катюшика. В качестве исходной была принята концепция базового поля, предложенная В. А. Катюшиком, где гравитация трактуется как результат давления универсального поля и экранирования этого давления телами. Показано, что формула вида

$$F \sim k_v m W$$

может быть строго получена как предельный случай более общей спектральной теории при допущениях частотной однородности поля и отклика материи (модель “сего мира”). В этом смысле монохромная теория Катюшика выступает как первое приближение спектральной модели, адекватное для описания макроскопической гравитации в условиях, когда детальная частотная структура несущественна.

2. Спектральная модель поля. Введено распределение спектральной плотности фонового поля $U_{\text{bg}}(\omega)$, весовая функция чувствительности $W(\omega)$ и спектральный коэффициент прозрачности материи $\alpha(\omega)$. Эффективный параметр

$$K = \int_0^\infty W(\omega) U_{\text{bg}}(\omega) \alpha(\omega) d\omega$$

определяет гравитационную постоянную через

$$G = \frac{K}{4\pi\lambda},$$

где λ — модуль упругости среды. Скалярная модель Катюшика получается как частный случай при $U_{\text{bg}}(\omega) \approx U_0$, $\alpha(\omega) \approx \alpha_0$, а интеграл по $W(\omega)$ сворачивается в эффективную ширину полосы.

3. Прозрачность материи и “сверхплотное поле”. Анализ зависимости вида

$$G = \frac{\alpha_0 \Phi_{\text{bg}}}{4\pi\lambda},$$

где $\Phi_{\text{bg}} = U_0 \Omega_{\text{eff}}$, показывает, что величина α_0 и мощность фонового потока Φ_{bg} неразделимы на уровне макроскопических наблюдений: экспериментально фиксируется лишь их произведение. При принятии гипотезы о сверхвысокой энергоплотности базового поля Φ_{bg} получаем неизбежный вывод о чрезвычайной малости α_0 . Это приводит к физической картине, в которой барионная материя практически прозрачна для гравитационно-активного спектра, а слабость гравитации обусловлена не слабостью поля, а низкой эффективностью взаимодействия вещества с ним.

4. Микроскопическая модель “дышащего” солитона. Предложена модель элементарной ячейки материи в виде сферического солитона (резонатора) радиуса порядка $\hbar/(mc)$, обладающего как дипольной (электромагнитной), так и монопольной (радиальной, “дыхательной”, гравитационной) модами. Показано, что эффективность возбуждения продольных (давления) мод сверхжёсткой среды естественно масштабируется как

$$\alpha_{\text{grav}} \sim \left(\frac{\mathcal{E}_{\text{part}}}{\mathcal{K}_{\text{vac}}} \right)^n,$$

где $\mathcal{E}_{\text{part}}$ — плотность энергии внутри солитона, \mathcal{K}_{vac} — модуль объёмной упругости вакуума, а показатель n отражает порядок процесса. При \mathcal{K}_{vac} , близком к планковской шкале, указанное отношение даёт порядок подавления, согласующийся с наблюдаемой иерархией сил ($\sim 10^{-38}$) между гравитационным и электромагнитным взаимодействиями.

5. Нелинейность и изменяемость эффективного G . Показано, что коэффициент прозрачности α_{eff} и, следовательно, эффективная гравитационная постоянная G_{loc} не являются строгими константами, а могут зависеть от локального состояния материи: плотности энергии \mathcal{E}_{loc} , спектрального распределения и степени когерентности. При выходе \mathcal{E}_{loc} за пределы линейного режима ($\eta_{\text{loc}} \ll 1$) возможны нелинейные режимы гравитации, в которых G_{loc} становится функцией состояния среды.

В совокупности эти результаты переводят гравитацию из чисто геометрической схемы в рамки физики поля и спектральной теории взаимодействия в упругой среде.

13.2 Статус экспериментальной проверки

Экспериментальная часть работы была ориентирована не на подтверждение отдельных спорных результатов, а на выявление классов явлений, где спектральная модель даёт специфические предсказания, отличные от классической теории, и на формулировку требований к решающим опытам.

1. Астрономические эффекты. Рассмотрены наблюдения аномального поведения маятников и гравиметров во время полных солнечных затмений. В спектральной трактовке такие явления могут быть интерпретированы как следствие сложного перекрытия “теней” в спектре фонового поля и соответствующего изменения эффективного G_{eff} в зоне наблюдения. Эти феномены, несмотря на дискуссионность, указывают на возможную чувствительность гравитационного отклика к геометрии экранирующих тел и спектральной структуре поля. Одновременно они подчёркивают необходимость крайне аккуратной постановки астрономических экспериментов и строгого учёта классических факторов (приливные силы, атмосфера, термические и механические эффекты).

2. Лабораторные аномалии. Проанализированы лабораторные эксперименты с системами, обладающими высокой энергоплотностью и когерентностью (сверхпроводники, плазма, врачающиеся конфигурации). На текущий момент ни одна из заявленных аномалий (снижение веса над сверхпроводящими дисками, аномальный фрейм-драгинг, гравитационные импульсы в плазменных установках) не получила общепризнанного подтверждения. Вместе с тем эти работы задают верхние пределы на возможные изменения $\Delta g/g$ и $\Delta G_{\text{loc}}/G$ в подобных конфигурациях и служат ориентиром для выбора параметров будущих экспериментов.

3. Предлагаемый решающий эксперимент. Сформулирована схема решающего опыта на основе дифференциальной гравиметрии над управляемой активной средой (сверхпроводник, высокоэнергетическая плазма, когерентные квантовые состояния). В классической теории изменение состояния активной среды (нормальное \leftrightarrow сверхпроводящее, вращение, высокочастотное возбуждение) не должно приводить к

детектируемым изменениям g , если исключены тривиальные механические и термические эффекты. Спектральная модель, напротив, допускает малые, но принципиально не нулевые $\Delta g(t)$, коррелированные с параметрами состояния. Реализация такого эксперимента позволит либо существенно сузить класс допустимых спектральных моделей, либо получить прямое указание на существование нелинейного, управляемого компонента гравитации.

В целом экспериментальный статус спектральной модели на данный момент следует охарактеризовать как открытый: прямых подтверждений нет, но существующие данные не исключают её, а скорее задают ограничения и формируют требования к будущим решающим проверкам.

13.3 Перспективы гравитационной инженерии

Главный концептуальный вывод работы состоит в том, что в спектральной картине гравитация перестаёт быть недоступной для воздействия “данностью геометрии” и становится частным проявлением более общего поля, с которым материя взаимодействует через спектрально-зависимый коэффициент прозрачности. Из этого следуют несколько перспективных направлений.

1. От геометрии к среде. Если гравитационное взаимодействие задаётся не только распределением масс, но и спектральными свойствами поля и состояния среды, то управление гравитацией сводится к управлению параметрами самой среды — плотностью энергии, фазовым состоянием, когерентностью и резонансными свойствами. Это переводит задачу из области “изменения метрики” в область инженерии материальных структур и возбуждений.

2. Консервативные сценарии. Даже при строгих экспериментальных ограничениях возможны небольшие управляемые вариации эффективных G_{loc} и g_{loc} , которые могут быть важны для прецизионных измерений, навигации, метрологии и фундаментальных тестов гравитационных теорий. В этом случае спектральная модель выступает как уточнение существующей картины, не разрушая её, но добавляя новые малые, проверяемые эффекты.

3. Радикальные сценарии. В случае подтверждения нелинейных режимов (существенные изменения α_{eff} при достижении определённых энергоплотностей или когерентных состояний) открывается перспектива гравитационной инженерии в более сильном смысле: создания структур и устройств, способных заметно изменять локальный гравитационный отклик. Это, в пределе, включает возможности частичного экранирования, усиления или перенаправления гравитационного взаимодействия. На данном этапе подобные сценарии следует рассматривать как отдалённую цель, требующую строгой экспериментальной базы и последовательного развития теории.

4. Научная ответственность. Поскольку речь идёт о потенциально радикальных изменениях в фундаментальной картине, особое значение приобретают прозрачность методологии, воспроизводимость результатов и чёткое отделение гипотетических построений от устойчиво подтверждённых фактов. Спектральная модель гравитации,

предложенная в данной работе, не претендует на окончательное решение, а формулирует последовательную теоретическую рамку и конкретные экспериментальные критерии, по которым она может быть подтверждена или опровергнута.

Если гравитация действительно является проявлением спектрального взаимодействия с сверхжёсткой средой, то исследования в этом направлении неизбежно приведут к новым формам физики и, при благоприятном развитии, к новым технологиям. Настоящая работа призвана очертить возможный контур такой физики и предложить первые шаги в сторону её экспериментальной проверки.